

Introduction

○○○
○○○○

Méthodes d'extraction

○○○
○○○○○○

Evaluation

○○○○
○○○○

Résultats et analyse

○○○○○○
○○○○

Conclusion

○○

Extraction automatique et structurée des données tabulaires de document PDF du BRGM

Travail de fin d'études

Marijan Soric



14 février 2025

Introduction



Méthodes d'extraction



Evaluation



Résultats et analyse



Conclusion



Plan

Introduction

Contexte

Problématique

Méthodes d'extraction

Evaluation

Résultats et analyse

Conclusion

Cadre du stage

Inria Valda (Inria Paris, DI ENS, CNRS) Thèmes : gestion de données complexes, données produites par l'activité humaine.

Inria Cedar (Inria Saclay, LIX, CNRS) Thèmes : analyse de données riches à l'échelle du Cloud.

BRGM (Bureau de Recherches Géologiques et Minières)
Service géologique national français : applications des sciences de la Terre pour gérer les ressources et les risques du sol et du sous-sol.

Cadre du travail

- Projet GéolAug collaboration Inria & BRGM
- Aide à la préparation des missions par les géologues, faciliter l'accès à la connaissance
- « Exploitation et structuration des données et de la connaissance »
- Des données hétérogènes :
 - Cartes géologiques, schémas
 - Bases de données
 - Texte
 - Tableaux

Introduction



Méthodes d'extraction



Evaluation



Résultats et analyse



Conclusion



Plan

Introduction

Contexte

Problématique

Méthodes d'extraction

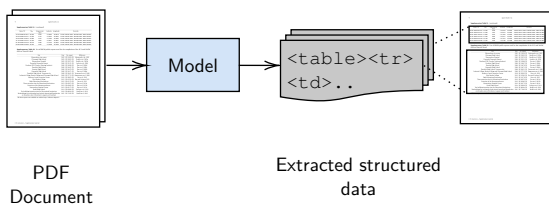
Evaluation

Résultats et analyse

Conclusion

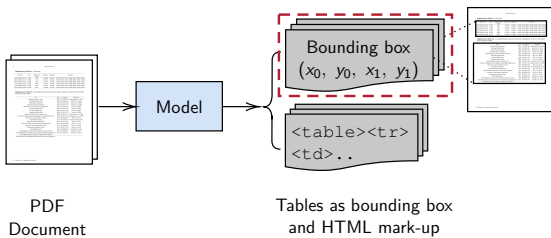
Définition du sujet

Extraction automatique et structurée des données tabulaires de document PDF



Définition des tâches (1/2)

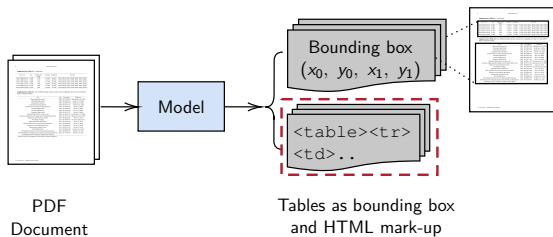
Détection de tableaux : Trouver toutes les tables d'un document



Difficulté : diversité des formats de tableaux (avec ou sans bords)

Définition des tâches (2/2)

Reconnaissance de la structure de tableaux : Extraire les données du tableau avec son contenu de manière structurée



Difficulté : diversité des formats de cellules (vides, alignement...)
Extraction de tableaux : Détection + Structure

Introduction
○○○○

Méthodes d'extraction
●○○
○○○○○○

Evaluation
○○○○
○○○○

Résultats et analyse
○○○○○○
○○○○

Conclusion
○○

Plan

Introduction

Méthodes d'extraction

Point de départ

Détection d'objet

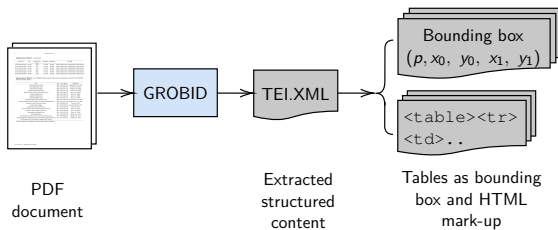
Evaluation

Résultats et analyse

Conclusion

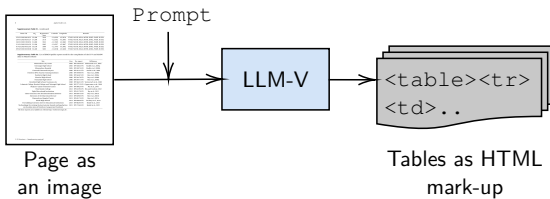
Approche de base (1/2)

GROBID (LOPEZ, 2008) logiciel d'analyse de PDF, notamment utilisé dans HAL¹.



Approche de base (2/2)

LLM-Vision GPT-4o-mini avec l'API d'OpenAI.



Note : LLM-Vision ne produit pas de coordonnées.

Introduction
○○○○

Méthodes d'extraction
○○○
●○○○○○

Evaluation
○○○○
○○○○

Résultats et analyse
○○○○○○
○○○○

Conclusion
○○

Plan

Introduction

Méthodes d'extraction

Point de départ

Détection d'objet

Evaluation

Résultats et analyse

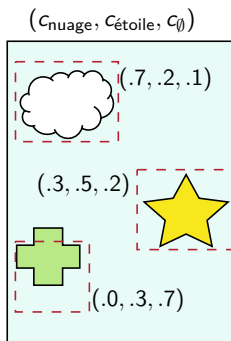
Conclusion

La détection d'objet

Détection d'objet : détecter la présence d'instance dans une image

Instance. Classe / objet à trouver (comme "table" ou "colonne", "ligne", "cellule").

Détection. Localisation (coins d'un rectangle) et distribution de probabilité sur les étiquettes : score de confiance.



Détection d'objet : instances (nuage, étoile, pas d'objet)

GROBID et LLM-Vision produisent des prédictions sans scores.

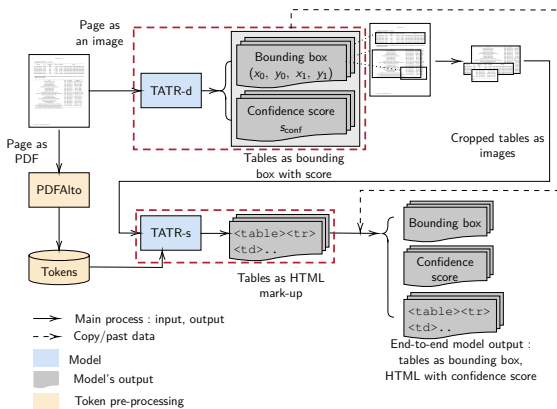
Méthodes d'extractions à deux étapes

On assemble des modèles spécialisés dans chacune des tâches.

Méthodes	Détection de Tableaux	Reconnaissance de la Structure de Tableaux
TATR-extract (SMOCK et al., 2022)	TATR-detect	TATR-structure
VGT+TATR-structure	VGT (DA et al., 2023)	TATR-structure
XY+TATR-extract	XY+TATR-detect	TATR-structure

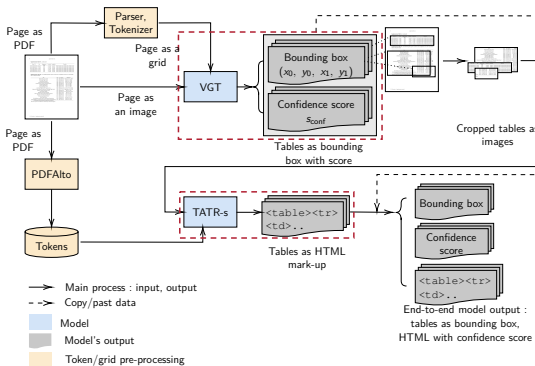
Méthodes d'extraction (1/3)

TATR-extract composé de deux modèles : TATR-detect et TATR-structure, utilisant l'architecture DETR (CARION et al., 2020) (transformeur encodeur-décodeur).



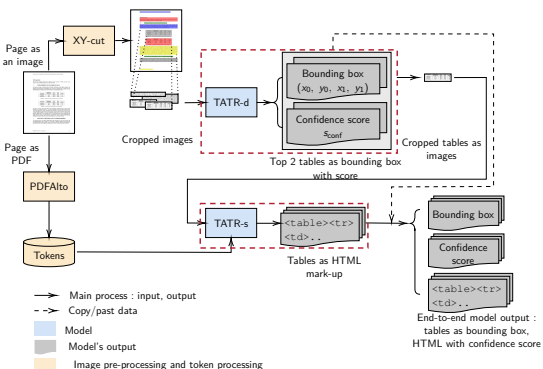
Méthodes d'extraction (2/3)

VGT+TATR-structure utilise VGT pour la détection de tableaux : modèle spécialisé dans la reconnaissance de mise en page (dont DT). VGT est **multimodal** : exploite le contenu visuel et textuel.



Méthodes d'extraction (3/3)

XY+TATR-extract ajoute un pré-traitement des pages grâce à l'algorithme X-Y cut (HA et al., 1995)



Introduction
○○○○

Méthodes d'extraction
○○○
○○○○○○

Evaluation
●○○○
○○○○

Résultats et analyse
○○○○○○
○○○○

Conclusion
○○

Plan

Introduction

Méthodes d'extraction

Evaluation

Détection de tableaux

Reconnaissance de la structure de tableaux

Résultats et analyse

Conclusion

Détection de tableaux

Métriques classiques utilisées : Precision, Rappel, basées sur les predictions *positives* (binaire).

Positive Prédition « il y a un tableau »

True Positive (TP) Tableau correctement détecté

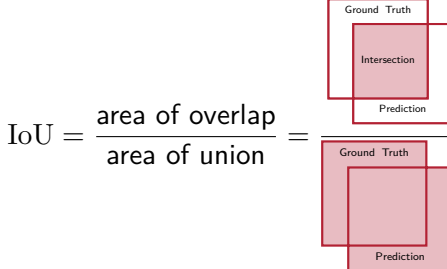
False Positive (FP) Tableau détecté qui n'est pas un vrai tableau

False Negative (FN) Vrai tableau non détecté

$$P = \frac{TP}{TP + FP} \qquad R = \frac{TP}{TP + FN}$$

Vrai et faux positif

Nous décidons si une prédiction (positive) est un TP ou FP, à l'aide de l'intersection-over-union (IoU) par rapport à un seuil θ_J .



Si $\text{IoU} > \theta_J$ alors la prédiction est un TP, sinon un FP.

Métriques

Precision

P_{θ_J} mesure à quel point le modèle est précis dans ses prédictions.

Rappel

R_{θ_J} mesure à quel point le modèle ne rate pas les vrais tableaux.

Mais ces métriques sont sensibles au choix du seuil θ_J , d'où l'utilisation de métriques d'agrégation $WAvg(P) = \sum_{\theta_J} w_{\theta_J} P_{\theta_J}$.

Average Precision

Aire sous la courbe Precision–Rappel pour les modèles avec scores de confiance.

Calibration du modèle

Vérifie que les scores de confiance correspondent à des probabilités.

Introduction
○○○○

Méthodes d'extraction
○○○
○○○○○○

Evaluation
○○○○
●○○○

Résultats et analyse
○○○○○○
○○○○

Conclusion
○○

Plan

Introduction

Méthodes d'extraction

Evaluation

Détection de tableaux

Reconnaissance de la structure de tableaux

Résultats et analyse

Conclusion

Reconnaissance de la structure de tableaux

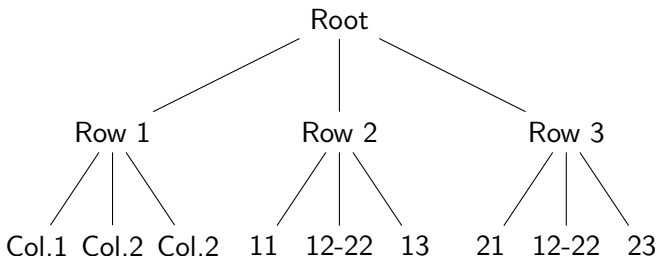
- Les métriques peuvent utiliser :
 - Localisations absolues de la structure (lignes, colonnes, cellules) comme pour la détection de tableaux.
 - Positions relatives des cellules et structure globale comme TEDS (LI et al., 2020) et GriTS (SMOCK et al., 2023).
- Évaluation des méthodes d'extraction dans leur ensemble : la phase de reconnaissance de structure dépend de la phase de détection.

Métriques (1/2)

TEDS calcule la similarité entre les tableaux représentés sous forme d'arbres.

Col.1	Col.2	Col.3
11	12-22	13
21		23

Représenté sous forme d'arbre :



Métriques (2/2)

GriTS représentent les tableaux sous forme matricielle et calculent leur similarité sur différents types.

Col.1	Col.2	Col.3
11	12-22	13
21	12 - 22	23

GriTS Content contenu textuel du tableau

$$\begin{pmatrix} \text{Col.1} & \text{Col.2} & \text{Col.3} \\ 11 & 12 - 22 & 13 \\ 21 & 12 - 22 & 23 \end{pmatrix}$$

GriTS Topology structure du tableau (topologie)

$$\begin{pmatrix} (0, 0, 1, 1) & (0, 0, 1, 1) & (0, 0, 1, 1) \\ (0, 0, 1, 1) & (0, 0, 1, 2) & (0, 0, 1, 1) \\ (0, 0, 1, 1) & (0, -1, 1, 1) & (0, 0, 1, 1) \end{pmatrix}$$

Introduction
○○○○

Méthodes d'extraction
○○○
○○○○○○

Evaluation
○○○○
○○○○

Résultats et analyse
●○○○○○
○○○○

Conclusion
○○

Plan

Introduction

Méthodes d'extraction

Evaluation

Résultats et analyse

Détection de tableaux

Reconnaissance de la structure de tableaux

Conclusion

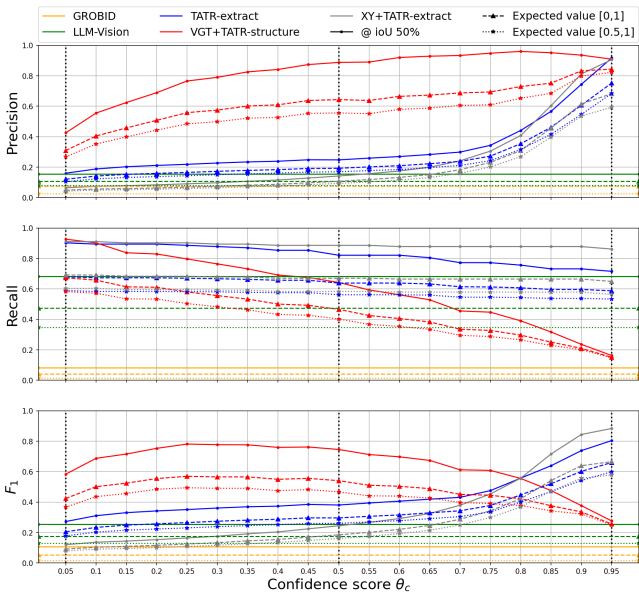
Scores de confiance

On définit un seuil θ_c pour définir les prédictions *positives* des modèles avec scores de confiance.

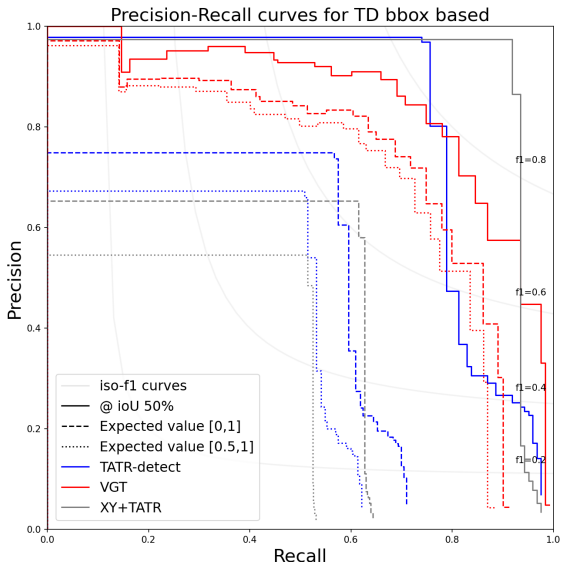
$$\mathcal{P}_{\theta_c}^+ := \{\hat{y} \mid (\hat{y}, c) \in \mathcal{P}, c_{\text{table}} > \theta_c\}$$

Ainsi on peut tracer *Precision*, *Rappel*, F_1 en fonction de θ_c

Détection de tableaux (Precision, Rappel, F_1)



Détection de tableaux (Courbes Precision–Rappel)



Exemple : comparaison TATR-detect / VGT

Evaluation de l'aïla stérile pour 8 sites de futurs établissements scolaires à Mayotte

Échantillon		Critères d'exclusion	
SPs3	0,25 à 15m	$D_u > 2mm$	non
		$D_u < 74 \mu m$ et $l_u > 10$	non
Critères de suspicion			
		Si moins de 100 %	oui
critères des terrains sablo-sables			
		$C_s = \frac{D_u}{D_v} < 15$	non
		$0,05 < D_u < 1,5mm$	non
		$\sigma_v < 2000\mu m$	oui
		$D_u > 5 \mu m$	non
		$w < 35 \%$	non
		$w > 0,5 \text{ m}_s$	non
critères des terrains argileux			
		Sel au-dessus de la droite A du diagramme de plasticité	non
Somme			non
0,365, 0,001, 0,634			

Tableau 33 - Critères de susceptibilité à la liquéfaction de l'échantillon n° 5 issu de SPs3

Échantillon		Critères d'exclusion	
SPs4	0 à 3m	$D_u > 74 \mu m$ et $l_u > 10$	non
		Critères de suspicion	
		Si moins de 100 %	oui
critères des terrains sablo-sables			
		$D_u > 5 \mu m$	non
		$w_c < 35 \%$	non
		$w > 0,5 \text{ m}_s$	non
critères des terrains argileux			
		Sel au-dessus de la droite A du diagramme de plasticité	non
Somme			non
0,838, 0 , 0,162			

Tableau 34 - Critères de susceptibilité à la liquéfaction de l'échantillon n° 1 issu de SPs4

Échantillon		Critères d'exclusion	
SPs4	3 à 6m	$D_u > 74 \mu m$ et $l_u > 10$	oui
		Critères de suspicion	
		Si moins de 100 %	oui
critères des terrains sablo-sables			
		$C_s = \frac{D_u}{D_v} < 15$	non
		$0,05 < D_u < 1,5mm$	non
		$\sigma_v < 2000\mu m$	oui
		$D_u > 5 \mu m$	non
		$w_c < 35 \%$	non
		$w > 0,5 \text{ m}_s$	non
critères des terrains argileux			
		Sel au-dessus de la droite A du diagramme de plasticité	non
Somme			0,392, 0 , 0,608

Tableau 25 - Critères de susceptibilité à la liquéfaction de l'échantillon n° 2 issu de SPs4

Échantillon		Critères d'exclusion	
SPs4	0,04 à 0,2	$D_u > 74 \mu m$ et $l_u > 10$	non
		Critères de suspicion	
		Si moins de 100 %	oui
critères des terrains sablo-sables			
		$C_s = \frac{D_u}{D_v} < 15$	non
		$0,05 < D_u < 1,5mm$	non
		$\sigma_v < 2000\mu m$	oui
		$D_u > 5 \mu m$	non
		$w_c < 35 \%$	non
		$w > 0,5 \text{ m}_s$	non
critères des terrains argileux			
		Sel au-dessus de la droite A du diagramme de plasticité	non
Somme			0,476, 0,004, 0,52

Tableau 26 - Critères de susceptibilité à la liquéfaction de l'échantillon n° 3 issu de SPs4

Evaluation de l'aïla stérile pour 8 sites de futurs établissements scolaires à Mayotte

Échantillon		Critères d'exclusion	
table 0,42 m	0,42 m	$D_u > 2mm$	non
		$D_u < 74 \mu m$ et $l_u > 10$	non
Critères de suspicion			
		Si moins de 100 %	oui
critères des terrains sablo-sables			
		$C_s = \frac{D_u}{D_v} < 15$	non
		$0,05 < D_u < 1,5mm$	non
		$\sigma_v < 2000\mu m$	oui
		$D_u > 5 \mu m$	non
		$w_c < 35 \%$	non
		$w > 0,5 \text{ m}_s$	non
critères des terrains argileux			
		Sel au-dessus de la droite A du diagramme de plasticité	non

Tableau 33 - Critères de susceptibilité à la liquéfaction de l'échantillon n° 5 issu de SPs3

Échantillon		Critères d'exclusion	
table 0,31 m	0,31 m	$D_u > 2mm$	non
		$D_u < 74 \mu m$ et $l_u > 10$	non
Critères de suspicion			
		Si moins de 100 %	oui
critères des terrains sablo-sables			
		$D_u > 5 \mu m$	non
		$w_c < 35 \%$	non
		$w > 0,5 \text{ m}_s$	non
critères des terrains argileux			
		Sel au-dessus de la droite A du diagramme de plasticité	non

Tableau 34 - Critères de susceptibilité à la liquéfaction de l'échantillon n° 1 issu de SPs4

Échantillon		Critères d'exclusion	
table 6,9%	6,9%	$D_u > 2mm$	non
		$D_u < 74 \mu m$ et $l_u > 10$	non
Critères de suspicion			
		Si moins de 100 %	oui
critères des terrains sablo-sables			
		$D_u > 5 \mu m$	non
		$w_c < 35 \%$	non
		$w > 0,5 \text{ m}_s$	non
critères des terrains argileux			
		Sel au-dessus de la droite A du diagramme de plasticité	non

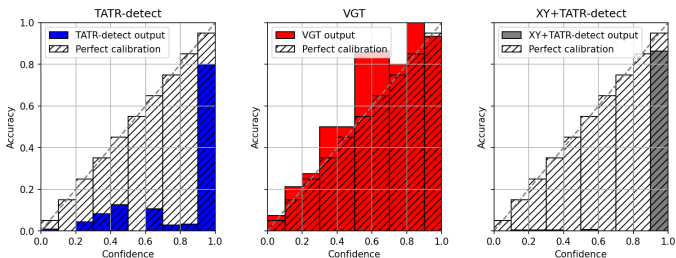
Tableau 35 - Critères de susceptibilité à la liquéfaction de l'échantillon n° 2 issu de SPs4

Échantillon		Critères d'exclusion	
table 8,7%	8,7%	$D_u > 2mm$	non
		$D_u < 74 \mu m$ et $l_u > 10$	non
Critères de suspicion			
		Si moins de 100 %	oui
critères des terrains sablo-sables			
		$C_s = \frac{D_u}{D_v} < 15$	non
		$0,05 < D_u < 1,5mm$	non
		$\sigma_v < 2000\mu m$	oui
		$D_u > 5 \mu m$	non
		$w_c < 35 \%$	non
		$w > 0,5 \text{ m}_s$	non
critères des terrains argileux			
		Sel au-dessus de la droite A du diagramme de plasticité	non

Tableau 36 - Critères de susceptibilité à la liquéfaction de l'échantillon n° 3 issu de SPs4

Fiabilité des scores de confiance

Faut-il faire confiance aux scores de confiance des modèles de vision ?



Diagrammes de fiabilité (NICULESCU-MIZIL & CARUANA, 2005) des modèles

Introduction
○○○○

Méthodes d'extraction
○○○
○○○○○○

Evaluation
○○○○
○○○○

Résultats et analyse
○○○○○○
●○○○

Conclusion
○○

Plan

Introduction

Méthodes d'extraction

Evaluation

Résultats et analyse

Détection de tableaux

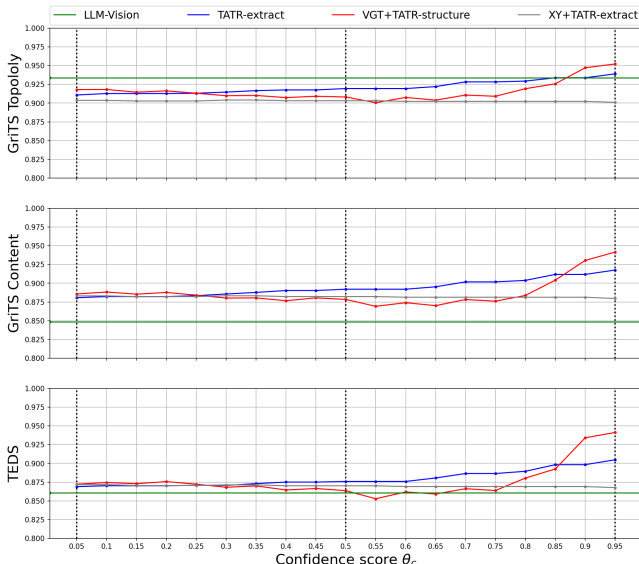
Reconnaissance de la structure de tableaux

Conclusion

Sur quelles prédictions évaluer la RST ?

- La phase de reconnaissance de structure dépend de la phase de détection pour une évaluation des méthodes d'extraction dans leur ensemble.
- Choix du calcul des scores de similarités à partir de l'ensemble des *True Positive* : couple (tableau prédict, tableau de référence).

Reconnaissance de structure (GriTS Top, Cont, TEDS)



Exemple d'extraction avec TATR-extract

101

卷之三

Table 3. Description of the RGA cell clones used in this work

Table 2. Description of the four soil classes used in this paper		
1. O.O.	Description of soil profile	V_{50} parameter (m/s)
A	Rock or other rock-like geological formations, including or most 5 m of weaker material at surface	>800
B	Deposits of very coarse gravel, or very stiff clay, at least several tens of m in thickness, developed by a gradual increase of mechanical properties with depth	300-360
C	Deep deposits of dense or medium-dense sand, gravel or stiff clay with thickness from several tens to many hundreds of m	180-360
D	Deposits of soft-to-medium cohesionless sand (with or without some soft cohesive layers) or of predominantly soft-to-firm cohesive soil	<180
E	A surface layer of a coarse alluvium layer with V_{50} values of types C or D and this known varying between depths of 3 to 20 m, underlain by stiffer material with V_{50} values >800 m/s	

Table 4. Statistical values for f_6 and $V_{5,39}$ parameters distribution (data count, Q25, Q50 and Q75) and ECB soil class according to the simplified geology

the V_{CS} parameter distribution (Figure 12) shows a quite similar trend for the four analysed geological formations with most of the V_{CS} range (from 2.0 to 2.5 m) between 250 and 750 m elevation (i.e. 250 to 380 m). The profile also shows a slight increase in thicknesses and intensities, which form the upper weathering profile on top of the fractured lava formations (see Figure 2) for a conceptual presence of a characteristic weathering profile in Mayotte. The weathering profile is characterized by its lithological characteristics, geometry and V_{CS} values lead us to consider them as V_{CS} clumps (Figure 12).

Table 3. Description of the HCB soil classes used in this paper

Soil class	Description of soil profile	$V_{5,30}$ parameter (m/s)
A	Rock or other rock-like geological formation, including at most 5 m of weather material at surface	>800
B	Deposits of very dense gravel, or very stiff clay, at least several tens of m in thickness, characterized by a gradual increase of mechanical properties with depth	360-900
C	Deep deposits of dense or medium-dense sand, gravel or stiff clay with thickness from several tens to many hundreds of m	180-360
D	Deposits of loose-to-medium cohesionless soil (with or without some soft cohesive layers), or of predominantly soft-to-firm cohesive soil	<100
E	A soil profile consisting of a surface alluvium layer with $V_{5,30}$ values of type C or D and the underlying layer with $V_{5,30}$ values of type B (0 to 20 m, or 20 to 50 m) or a thin surface layer (0 to 20 m) with $V_{5,30}$ values of type C or D and the underlying layer with $V_{5,30}$ values of type A (0 to 20 m)	

Table 4. Statistical values for f_0 and $V_{\text{A},0}$ parameters distribution (data count, 0.25, 0.50 and 0.75) and

(b) TATR-structure

Soil class	Description of soil profile	V S,30 parameter (m/s)
A	Rock or other rock-like geological formation, including at most 5 cm of weaker material at surface	>800
B	Deposits of very dense, gravelly, or very stiff clay, at least several tens of m in thickness, characterized by a gradual increase of mechanical properties with depth	360-800
C	Deep deposits of dense or medium-dense sand, gravel or stiff clay, with thickness from several tens to many hundreds of m	180-360
D	Deposits of loose-to-medium cohesionless soil (with or without some soft cohesive layers), or of predominantly soft-to-firm cohesive soil	<180
E	A soil profile consisting of a surface alluvium layer with V S,30 values of type C or D and thickness varying between about 5 m to 20 m, underlain by stiffer material with V S,30 > 800 m/s	



(a) TATR-detect

(c) Tableau extrait (HTML)

Conclusion

- Utilisation de méthodes d'extraction bout-en-bout pour le BRGM.
- Amélioration des méthodes existantes via modification des traitements de données.
- Résultats globalement bons sur le jeu de données (F_1 -score, métriques RST).
- Nécessité un choix d'utilisation :
 - Utiliser un seuil θ_c pour constituer un ensemble de positive.
 - Faire confiance au score de confiances.

La suite / Perspectives

Le stage :

- Exploiter les tableaux extraits via des requêtes.
- Sémantiser, enrichir les tableaux par leur contexte (légende).
- Jeu de données plus grand.

La thèse :

- S'intéresser à d'autres types de données (texte, schéma).
- Exploiter l'**hétérogénéité** des données avec des méthodes **multi-modales**.
- Situer la connaissance dans ses dimensions **spatiales et temporelles**.

-  CARION, N., MASSA, F., SYNNAEVE, G., USUNIER, N., KIRILLOV, A., & ZAGORUYKO, S. (2020). End-to-End Object Detection with Transformers.
<https://arxiv.org/abs/2005.12872>
-  DA, C., LUO, C., ZHENG, Q., & YAO, C. (2023). Vision Grid Transformer for Document Layout Analysis.
<https://arxiv.org/abs/2308.14978>
-  HA, J., HARALICK, R., & PHILLIPS, I. (1995). Recursive X-Y cut using bounding boxes of connected components.
Proceedings of 3rd International Conference on Document Analysis and Recognition, 2, 952-955 vol.2.
<https://doi.org/10.1109/ICDAR.1995.602059>

-  LI, M., CUI, L., HUANG, S., WEI, F., ZHOU, M., & LI, Z. (2020, mai). TableBank : Table Benchmark for Image-based Table Detection and Recognition. In N. CALZOLARI, F. BÉCHET, P. BLACHE, K. CHOUKRI, C. CIERI, T. DECLERCK, S. GOGGI, H. ISAHARA, B. MAEGAARD, J. MARIANI, H. MAZO, A. MORENO, J. ODIJK & S. PIPERIDIS (Éd.), *Proceedings of the Twelfth Language Resources and Evaluation Conference* (p. 1918-1925). European Language Resources Association.
<https://aclanthology.org/2020.lrec-1.236/>
-  LOPEZ, P. (2008). GROBID.
-  NICULESCU-MIZIL, A., & CARUANA, R. (2005). Predicting good probabilities with supervised learning. *Proceedings of the 22nd International Conference on Machine Learning*, 625-632. <https://doi.org/10.1145/1102351.1102430>

 SMOCK, B., PESALA, R., & ABRAHAM, R.

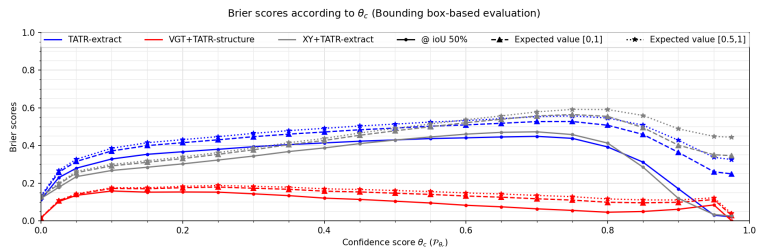
(2022). PubTables-1M : Towards Comprehensive Table Extraction From Unstructured Documents. *Proceedings of the IEEE/CVF Conference on Computer Vision and Pattern Recognition (CVPR)*, 4634-4642.

 SMOCK, B., PESALA, R., & ABRAHAM, R. (2023). GriTS : Grid table similarity metric for table structure recognition.
<https://arxiv.org/abs/2203.12555>

Annexes

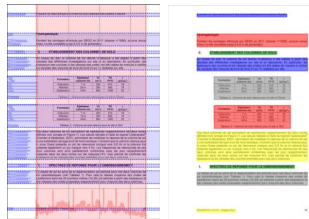
Brier score

Calcule d'une *accuracy* : proportion de prédictions correctement classifiées à partir des scores de confiance. Brier score (1D) est la moyenne quadratique des erreurs.



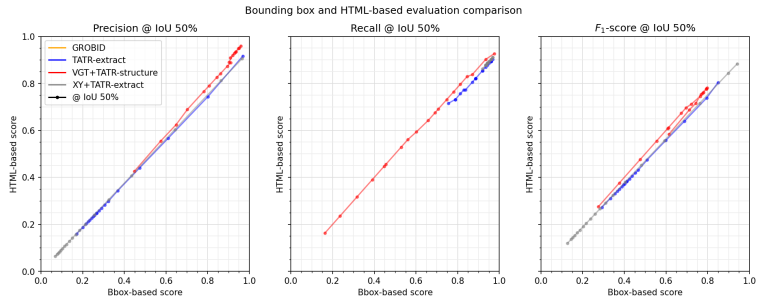
Algorithme X-Y cut

1. Projeter les pixels noirs selon les axes X et Y de l'image (ou sous-image).
2. À partir du profil, repérer les espacements entre paragraphes.
3. Créer des sous-images.
4. Répéter les étapes 1 à 3 jusqu'à la rencontre d'un critère d'arrêt.

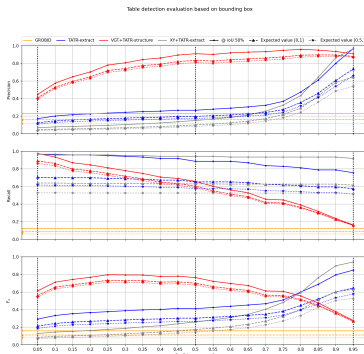


Détection de tableaux avec HTML et coordonnées de tableaux (1/2)

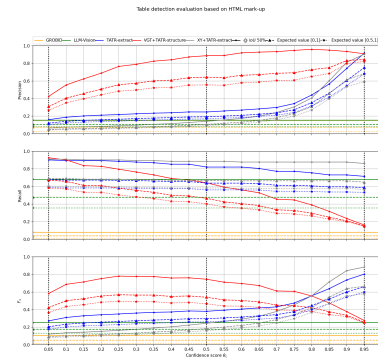
Représentation des tableaux par des 2-grammes multi ensembles (avec chaîne de deux caractères qui ne sont pas des balises).



Détection de tableaux avec HTML et coordonnées de tableaux (2/2)



(a) DT avec coordonnées



(b) DT avec tableaux en HTML